

西南交通大学

试卷四 2007 年攻读硕士学位研究生入学考试试题

考试科目：材料科学基础

适用专业：材料科学与工程

一、(每空 1 分，共 30 分) 填空题

- 面心立方晶体的最密排面是 (1)，最密排方向是 (2)；体心立方晶体的最密排面是 (3)，最密排方向是 (4)；密排六方晶体的最密排面是 (5)，最密排方向是 (6)。
- 较细的金属比晶粒较粗的同种金属有 (7) 的强度和硬度及 (8) 塑性和韧性，这种现象称为 (9) 强化；铸造工艺中细化晶粒的常用方法是 (10) 和 (11)。
- 铁素体是碳在 (12)-Fe 中的 (13) 固溶体，与纯铁相比，其强度和硬度 (14)，塑性和韧性 (15)，这是由于 (16) 强化的结果。
- 对于刃型位错线，其柏氏矢量 (17) 于位错线，其滑移运动方向 (18) 于柏氏矢量，其攀移运动方向 (19) 于柏氏矢量；对于螺型位错线，其柏氏矢量 (20) 于位错线，其滑移运动方向 (21) 于柏氏矢量，其交滑移运动方向 (22) 于柏氏矢量。
- 金属经冷塑性变形后，其强度和硬度 (23)，塑性和韧性 (24)，这种现象称为 (25) 强化或 (26)；对于经过预先冷塑性变形的金属，在进一步冷塑性变形前应进行 (27) 退火，以提高其 (28)；而对于冷加工成形的零构件，成形后应及时进行 (29) 退火，以去除 (30)，防止零构件在使用中产生变形或开裂。

二、(共 16 分) 画图题

- (5 分) 根据 Fe-Fe₃C 相图，铁碳合金中的渗碳体相可能存在有五种不同的形态，按照形成温度由高到低，依次是：一次渗碳体，共晶渗碳体，二次渗碳

体，共析渗碳体和三次渗碳体。请画出含有上述五种渗碳体的铁碳合金的组织示意图（一种合金中可包含一种或多种形态的渗碳体），并标明渗碳体组织的名称。

2. (5分) 在立方晶胞内画出 $(\bar{1}21)$ 、 $(\bar{1}22)$ 晶面，以及 $[01\bar{2}]$ 、 $[110]$ 、 $[20\bar{1}]$ 晶向。

3. (6分) 画出下列合金及其热处理后的室温组织：

- | | |
|----------------|-----------------|
| (1) 共析钢的平衡组织 | (2) 亚共晶白口铸铁 |
| (3) T12 钢的平衡组织 | (4) 20 钢的淬火组织 |
| (5) 粒状珠光体 | (6) 45 钢调质处理的组织 |

三、(共 20 分) 公式题

1. (每小题 5 分, 共 10 分) 给出下列各公式, 说明公式中各物理量的含义及单位:

- | | |
|-------------------|------------|
| (1) Hall-Petch 公式 | (2) 晶界偏聚公式 |
|-------------------|------------|

2. (10 分) 推导在液相中均匀形成边长为 a 的立方体晶核的临界形核功 ΔG^* 和临界尺寸 a^* 的表达式。

四、(共 35 分) 简答题

1. (15 分) 举例说明材料的基本强化形式有哪几种，并说明其中三种的强化机制。

2. (10 分) 何为上坡扩散？形成上坡扩散的热力学条件是什么？

3. (10 分) 请以 Al-4.5% Cu 合金为例，说明时效过程及其性能（硬度）变化。

五、(共 49 分) 综合分析题

1. (20 分) A-B 二元合金相图如图 4-1 所示。在固相不扩散、液相完全混合的条件下，水平放置的质量分数 $w_B = 40\%$ 的 A-B 二元合金溶液从左至右定向凝固成长为 L 的横截面均匀的合金棒。

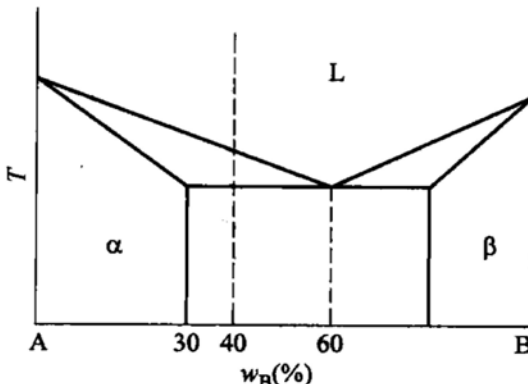


图 4-1 第五题第 1 小题图

(1) (10 分) 计算棒中单相 α 固溶体段占棒长的分数 x 。

$$\text{附: } C_L = C_0 (1-x)^{k_0-1}; \quad C_S = k_0 C_0 (1-x)^{k_0-1}$$

式中, $x = Z/L$ 为已凝固的体积分数; C_L , C_S , C_0 分别为液相、固相和合金的成分, k_0 为平衡分配系数, $k_0 = C_S/C_L$ 。

(2) (5 分) 画出整根棒的组织示意图。

(3) (5 分) 画出该棒中 B 原子的浓度分布曲线。

2. (20 分) 根据 Fe-Fe₃C 相图, 完成下列工作:

(1) 画出 Fe-Fe₃C 相图 (可以忽略高温铁素体相变及包晶转变)。

(2) 画出 45 钢 ($w_C = 0.45\%$, 下同) 从高温液态到室温的平衡冷却曲线 (不考虑铁素体的溶解度变化), 并标明相的变化过程。

(3) 示意画出高温液态到室温的组织转变过程图。

(4) 说明 45 钢在室温下的平衡组织, 给出每一种组织的成分, 计算各组织的相对重量。

3. (9 分) 根据共析碳钢的过冷奥氏体转变 C 曲线 (TTT 曲线), 如图 4-2 所示, 请写出经过图中所示 6 种不同工艺处理后材料的组织名称。

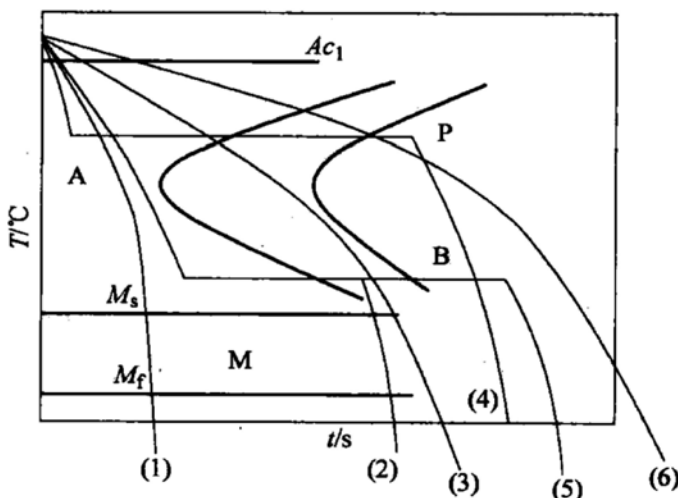


图 4-2 第五题第 3 小题图

标准答案

一、

1. (1) {111}; (2) <1̄10>; (3) {110}; (4) <1̄11>; (5) (0001);
(6) <11̄20>

2. (7) 更高; (8) 更好; (9) 细晶; (10) 增大冷却速度; (11) 加形核

剂，搅拌或振动

3. (12) α ; (13) 间隙; (14) 更高; (15) 更低; (16) 固溶
4. (17) 垂直; (18) 平行; (19) 垂直; (20) 平行; (21) 垂直; (22) 垂直
5. (23) 升高; (24) 下降; (25) 形变; (26) 加工硬化; (27) 再结晶; (28) 塑性和韧性; (29) 去应力; (30) 残余内应力

二、

1. 如图 4-3 所示。

一次渗碳体是从液相中直接析出的，只有在含碳量 $w_c > 4.30\%$ 的铁碳合金（白口铸铁）中才能见到。其形貌是大块的板条（过共晶白口铸铁中），如图 4-3a 中白色条状组织所示。

二次渗碳体是过共析钢退火平衡组织，是从奥氏体中析出的，一般分布在原奥氏体晶界，呈网状，又称网状渗碳体，如图 4-3b 所示。

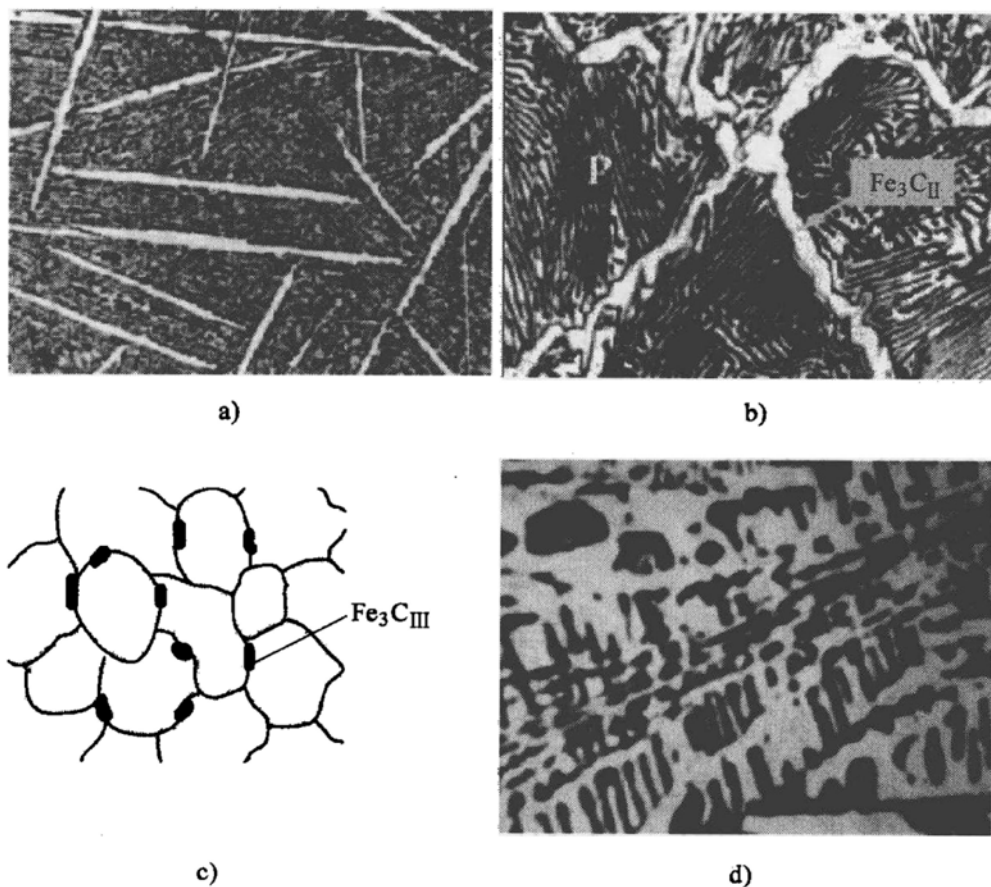


图 4-3 第二题第 1 小题解答图

- a) 条状 $\text{Fe}_3\text{C}_{\text{I}}$
- b) 网状 $\text{Fe}_3\text{C}_{\text{II}}$ 和 P 中的层状渗碳体
- c) 铁素体晶界上的 $\text{Fe}_3\text{C}_{\text{II}}$
- d) 共晶渗碳体（白色区域）

三次渗碳体是从铁素体中析出的，分布在铁素体晶界上，由于量较少，呈现断续蛇状分布。一般只在工业纯铁中可以看到，如图 4-3c 所示。

珠光体中的渗碳体叫做共析渗碳体，呈现为层片状形态，如图 4-3b 所示。

共晶莱氏体组织中的渗碳体叫做共晶渗碳体，是共晶组织的基体，呈现连续分布，如图 4-3d 所示。

2. 如图 4-4 所示。

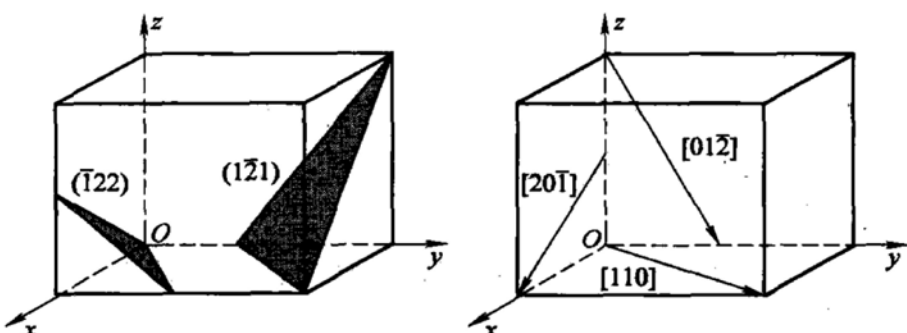


图 4-4 第二题第 2 小题解答图

3. 如图 4-5 所示。

三、

1.

(1) Hall-Petch 公式

表示屈服强度与晶粒尺寸之间的关系。

$$\sigma_s = \sigma_0 + K \cdot d^{-\frac{1}{2}}$$

式中， σ_0 (MPa)、 K (MPa · m^{1/2}) 为常数； d 为晶粒直径 (m)； σ_s 为屈服强度 (MPa)。

(2) 晶界偏聚公式

$$C_{gb} = C_0 \cdot \exp \left(\frac{-\Delta E}{kT} \right) = C_0 \exp \left(\frac{-Q}{RT} \right)$$

式中， C_{gb} 、 C_0 分别为晶界浓度和晶粒中心浓度（两者同单位即可，可以使用质量百分浓度或体积浓度）； ΔE 为交互作用能 (eV)； Q 为 mole 交互作用能 (J)，由于偏聚引起晶界能的变化； R 为气体常数 (J/K)； k 为玻尔兹曼常数 (eV/K)； T 为绝对温度 (K)。

2. 晶胚为正方形，边长为 a ，则

$$V = a^3 \quad A = 6a^2$$

当过冷液体中出现一个晶胚时，总的自由能变化 ΔG 应为

$$\Delta G = V\Delta G_V + A\Delta G_A$$

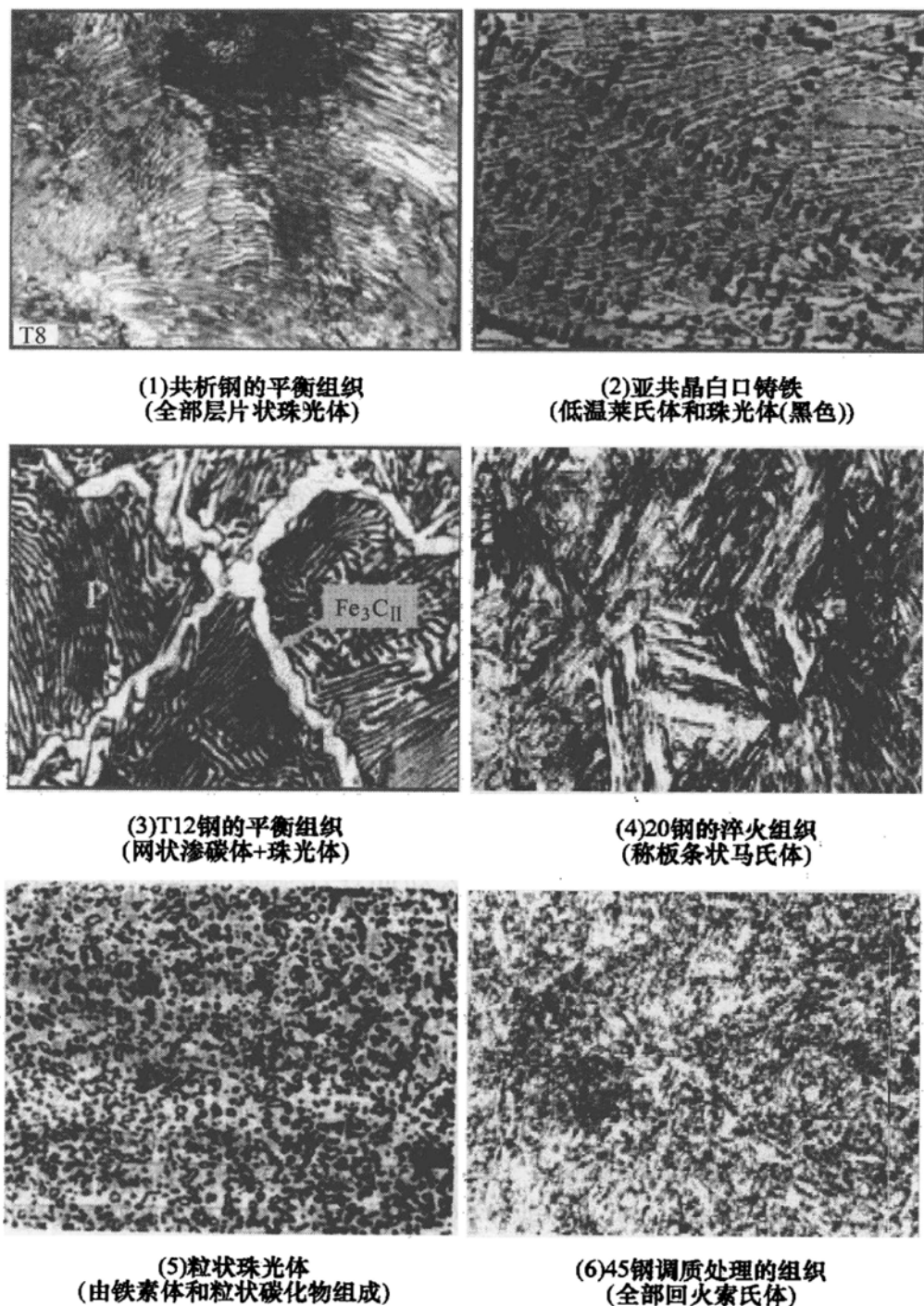


图 4-5 第二题第 3 小题解答图

$$\Delta G = a^3 \Delta G_V + 6a^2 \Delta G_A \quad (4-1)$$

令

$$\frac{d\Delta G}{da} = 0$$

可求得

$$a^* = -\frac{4\Delta G_A}{\Delta G_V}$$

将 a^* 代入式 (4-1) 可求得

$$\Delta G^* = \frac{32\Delta G_A^3}{(\Delta G_V)^2}$$

四、

1. 通过合金化、塑性变形和热处理等手段提高金属材料强度的方法，称为材料的强化。其强化基本形式有：固溶强化、形变强化、沉淀强化和弥散强化、细化晶粒强化等。

这些强化方式总的来说是向晶体内引入大量晶体缺陷，如位错、点缺陷、异类原子、晶界、高度弥散的质点或不均匀性（如偏聚）等，这些缺陷阻碍位错运动，也会明显地提高材料强度。

固溶强化：无论是代位原子或是填隙原子，在条件合适的情况下，都可能发生原子偏聚而形成气团。对代位点阵来说，当溶质原子比溶剂原子的直径大时，溶质原子有富集在刃型位错受胀区的趋向；反之，富集于受压区。填隙原子则总是向受胀区富集。这种靠扩散在位错附近富集的现象，称为柯氏气团（Cottrell atmosphere）。柯氏气团对位错有钉扎作用，从而使强度提高。

沉淀强化和弥散强化：过饱和固溶体随温度下降或在长时间保温过程中（时效）发生脱溶分解。时效过程往往是很复杂的，如铝合金在时效过程中先产生 GP 区，继而析出过渡相（ θ'' 及 θ' ），最后形成热力学稳定的平衡相（ θ ）。细小的沉淀物分散于基体之中，阻碍着位错运动而产生强化作用，这就是“沉淀强化”或“时效强化”。

加工硬化：冷变形金属在塑性变形过程中形成大量位错，这些位错部分成为不可动位错，从而导致其对可动位错的阻力增大，引起材料继续变形困难，形成加工硬化或形变强化。

2. 物质从低浓度区向高浓度区扩散，扩散的结果提高了浓度梯度。例如铝铜合金时效早期形成的富铜偏聚区，以及某些合金固溶体的调幅分解形成的溶质原子富集区等，这种扩散称为“上坡扩散”。上坡扩散的真正驱动力是化学位梯度，而非浓度梯度，虽然扩散导致浓度梯度上升，但化学位梯度却是下降的。据此，形成上坡扩散的热力学条件是

$$\frac{\partial^2 G}{\partial^2 x} < 0$$

3. 铝合金淬火后得到过饱和固溶体，之后加热保温，固溶体内会依次析出 GP 区， θ'' 、 θ' 、 θ 相。GP 区的形成会使材料的硬度增加（第一个时效峰），长时间时效，GP 区溶解，硬度下降。 θ'' 的形成使得硬度继续增加（第二个时效峰）。当 θ'' 全部溶解转化为 θ' 和 θ' 转化为 θ 后，硬度开始下降。

五、

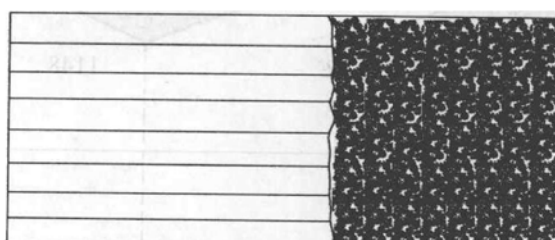
1.

$$(1) C_s = k_0 C_0 (1 - x)^{k_0 - 1}$$

式中, $C_s = 30\%$; $k_0 = 30\% / 60\% = 0.5$; $C_0 = 40\%$ 。将值代入后得 $x = Z/L = 5/9$ 。

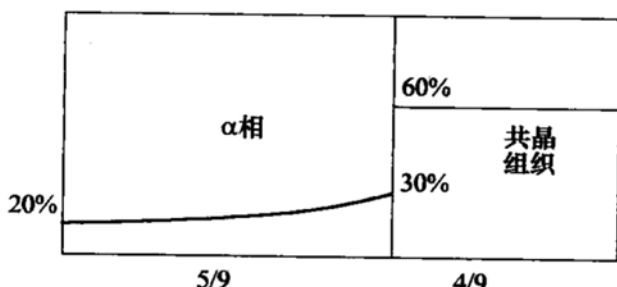
(2) 如图 4-6a 所示。

(3) 如图 4-6b 所示。



柱状 α 相 共晶组织

a)



b)

图 4-6 第五题第 1 小题解答图

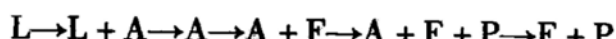
a) 棒的组织示意图 b) 棒中 B 原子的浓度分布曲线

2.

(1) 如图 4-7a 所示。

(2) 如图 4-7b 所示。

(3) 如图 4-7c 所示。



45 钢在液态到室温的冷却过程中将发生以下转变: 匀晶转变 $L \rightarrow L + A$, 并全部转变为 A, 然后发生同素异晶转变 $A \rightarrow F + A$, 在 727°C 发生共析转变 $A \rightarrow P$ ($F + C_m$)。

(4) 室温下 45 钢的组织为: 铁素体 F ($w_C = 0.0218\%$) + 珠光体 P ($F + Fe_3C$) ($w_C = 0.77\%$)。根据杠杆定律计算, 得

$$Q_F = \frac{0.77 - 0.45}{0.77 - 0.0218} \times 100\% = 42.77\%$$

$$Q_p = \frac{0.45 - 0.0218}{0.77 - 0.0218} \times 100\% = 57.23\%$$

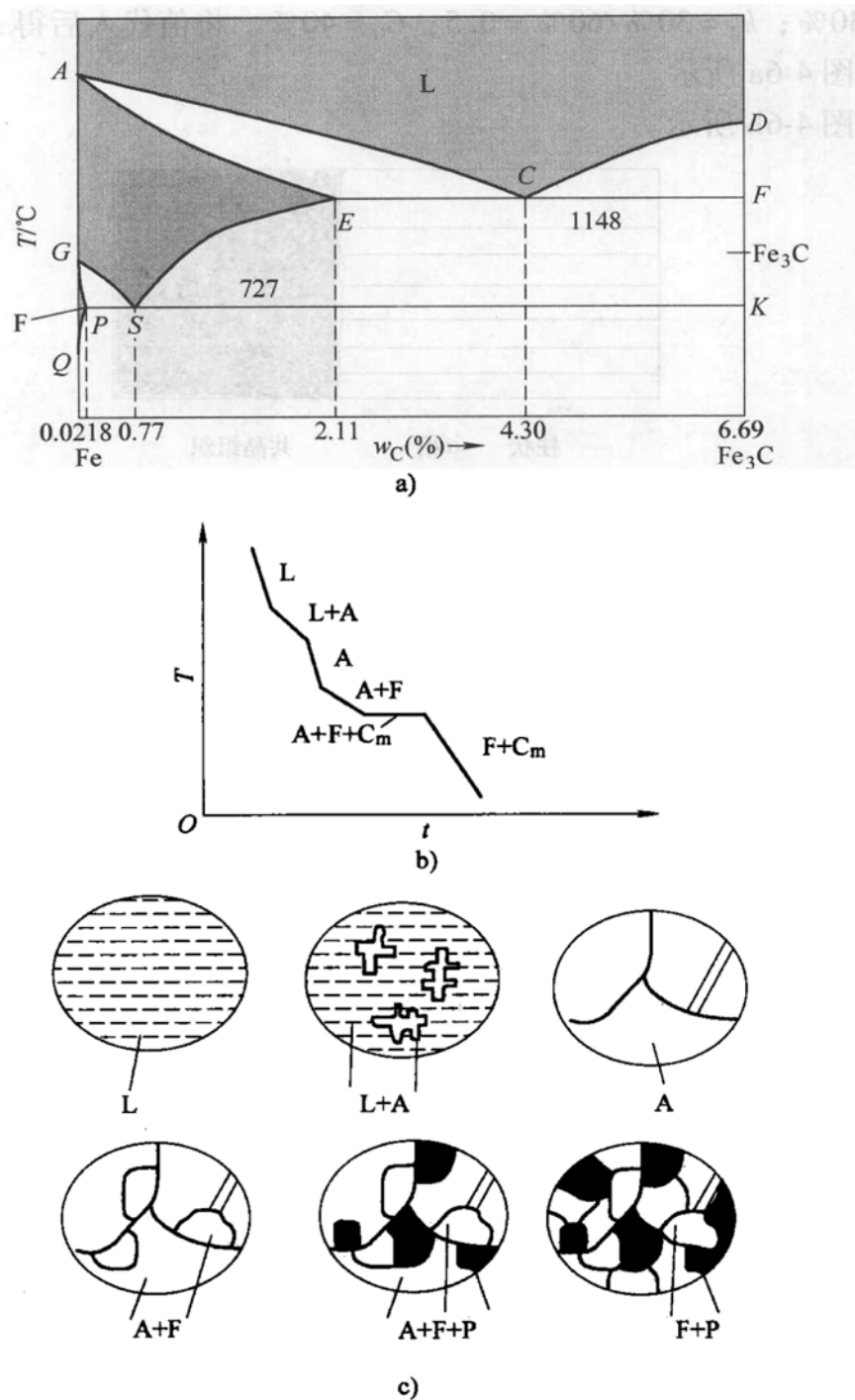


图 4-7 第五题第 2 小题解答图

a) Fe-Fe₃C 相图 b) 45 钢的平衡冷却曲线 c) 45 钢平衡冷却时的组织转变过程

3.

(1) 马氏体 + 残留奥氏体, M + A'。

- (2) 马氏体 + 下贝氏体 + 残留奥氏体, $M + B_{\text{下}} + A'$ 。
- (3) 索氏体 + 马氏体 + 残留奥氏体, $S + M + A'$ 。
- (4) 索氏体或珠光体, S 。
- (5) 下贝氏体, $B_{\text{下}}$ 。
- (6) 珠光体, P 。

试 卷 五

2008 年攻读硕士学位研究生入学考试试题

考试科目：材料科学基础

适用专业：材料科学与工程

一、(每小题 5 分，共 25 分) 概念题

1. 弥散强化（或沉淀强化） 2. 再结晶退火
3. 上坡扩散 4. 晶体 5. 一级相变

二、(共 18 分) 画图题

1. (9 分) 在立方晶胞内画出 $(1\bar{1}1)$ 、 $(\bar{1}2\bar{2})$ 、 (110) 晶面，以及 $[110]$ 、 $[010]$ 、 $[20\bar{1}]$ 晶向。

2. (每小题 1.5 分，共 9 分) 画出下列合金及其热处理后的室温组织：

- (1) 共析钢的平衡组织
(2) 共晶白口铸铁
(3) T12 钢完全奥氏体化后的淬火组织
(4) 45 钢的平衡组织
(5) 铝硅共晶组织
(6) 45 钢调质处理的组织

三、(共 30 分) 公式题

1. (每小题 5 分，共 10 分) 给出下列各公式，说明公式中各物理量的含义及单位：

- (1) Hall-Petch 公式 (2) 一维形式的菲克第二定律
2. (10 分) 推导在液相中均匀形成半径为 r 的奥氏体球形晶核的临界形核功 ΔG^* 和临界尺寸 r^* 的表达式。
3. (10 分) 根据图 5-1 所示，推导在 T_1 温度下成分为 X_0 的合金在 $\alpha + L$ 两相区时，表示两相 α 和 L 的相对量（重量）的杠杆定律（图中成分均为重量百分数）。

四、(共 45 分) 简答题

1. (15 分) 以低碳钢的拉伸曲线为例，运用位错理论说明屈服现象及加工硬化现象。

2. (10 分) 请简单说明层错能高低对螺型位错交滑移的影响，及其对金属加工硬化速率的影响。

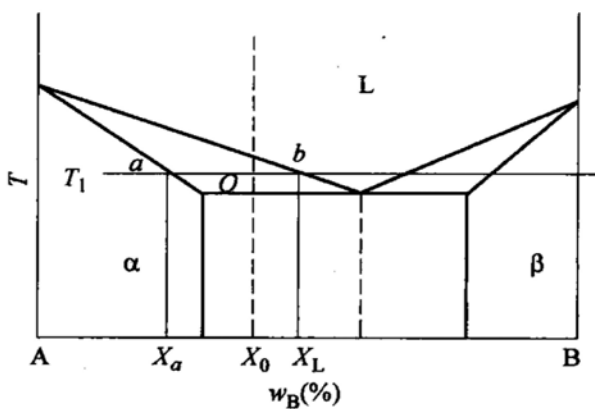


图 5-1 第三题第 3 小题图

3. (10 分) 请以 Al-4.5% Cu 合金为例, 说明 130℃ 时效过程 (组织转变) 及其性能 (硬度) 变化。

4. (10 分) 说明马氏体相变的主要特征。

五、(共 32 分) 综合分析题

1. (20 分) 根据 Fe-Fe₃C 相图, 完成下列工作:

- (1) 画出 Fe-Fe₃C 相图 (可以忽略高温铁素体相变及包晶转变)。
- (2) 画出 35 钢 ($w_C = 0.35\%$, 下同) 从高温液态到室温的平衡冷却曲线 (不考虑铁素体的溶解度变化), 并标明相的变化过程。
- (3) 示意画出高温液态到室温的组织转变过程图。
- (4) 说明 35 钢在室温下的平衡组织, 给出每一种组织的成分, 计算各组织的相对重量。

2. (12 分) 根据共析碳钢的过冷奥氏体转变 C 曲线 (TTT 曲线) (如图 5-2 所示), 请写出经过图中所示 6 种不同工艺处理后材料的组织名称以及硬度排列 (从高到低)。

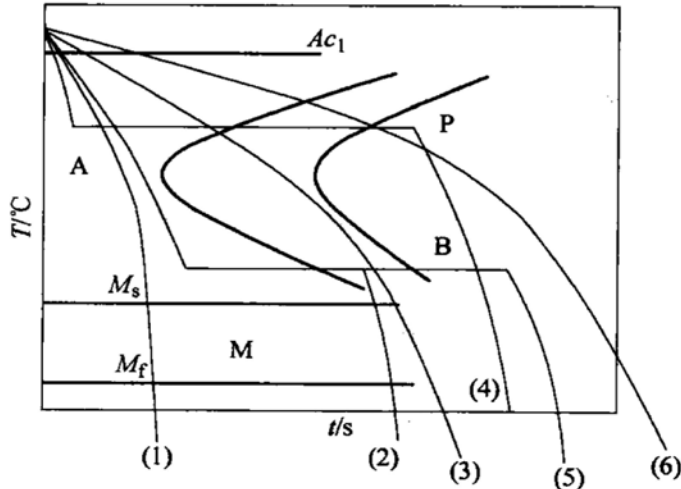


图 5-2 第五题第 2 小题图

标准答案

一、

1. 弥散强化（或沉淀强化）：过饱和固溶体随温度下降或在长时间保温过程中（时效）发生脱溶分解。时效过程往往是很复杂的，如铝合金在时效过程中先产生 GP 区，继而析出过渡相 (θ'' 及 θ')，最后形成热力学稳定的平衡相 (θ)。细小的沉淀物分散于基体之中，阻碍着位错运动而产生强化作用，这就是“沉淀强化”或“时效强化”。为了提高金属，特别是粉末冶金材料的强度，往往人为地加入一些坚硬的细质点，弥散于基体中，称为弥散强化。

2. 再结晶退火：经过塑性变形的金属，在重新加热过程中，当温度高于再结晶温度后，形成低缺陷密度的新晶粒，使其强度等性能恢复到变形前的水平，但其相结构不变的过程。

3. 上坡扩散：原子从低浓度向高浓度处的扩散，扩散的驱动力是化学位梯度。

4. 晶体：原子、分子或离子按照一定的规律周期性排列组成的固体。

5. 一级相变：相变前后新旧两相的自由焓相等，但其一阶偏导数不等的相变。

二、

1. 如图 5-3 所示。

2. 如图 5-4 所示。

三、

1.

(1) Hall-Petch 公式

表示屈服强度与晶粒尺寸之间的关系。

$$\sigma_s = \sigma_0 + K \cdot d^{-\frac{1}{2}}$$

式中， σ_0 (MPa)、 K (MPa \cdot m $^{\frac{1}{2}}$) 为常数； d 为晶粒直径 (m)， σ_s 为屈服强度 (MPa)。

$$(2) \quad \frac{\partial C}{\partial t} = D \frac{\partial^2 C}{\partial x^2}$$

式中， C 为浓度 (g/cm 3)； D 为扩散系数 (cm 2 /s)； t 为时间 (s)； x 为距离 (cm)。

2. 晶胚为球形，半径为 r ，则

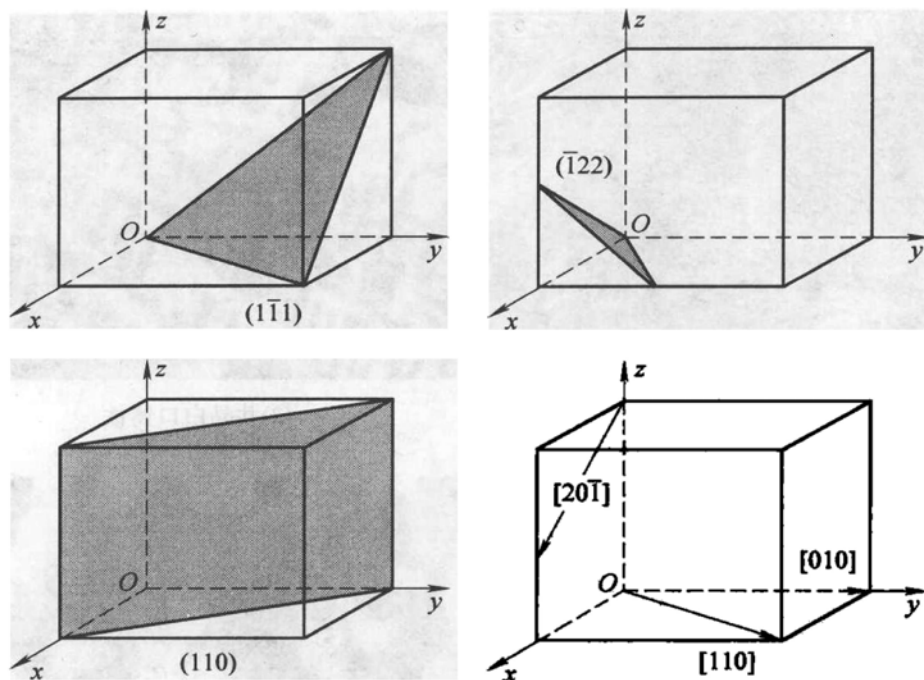


图 5-3 第二题第 1 小题解答图

$$V = \frac{4}{3}\pi r^3 \quad A = 4\pi r^2$$

当过冷液体中出现一个晶胚时，总的自由能变化 ΔG 应为

$$\Delta G = V\Delta G_V + A\Delta G_A$$

$$\Delta G = \frac{4}{3}\pi r^3 \Delta G_V + 4\pi r^2 \Delta G_A \quad (5-1)$$

令 $\frac{d\Delta G}{dr} = 0$ ，可求得 $r^* = -\frac{2\Delta G_A}{\Delta G_V}$

将 r^* 代入式 (5-1) 可求得

$$\Delta G^* = \frac{16\pi\Delta G_A^3}{3(\Delta G_V)^2}$$

3.

合金成分为 X_0 (O 点)，当合金处于温度 T_1 时，正处在两相区中，因此两相的成分应该由相界线确定，即液相的成分为 X_L (b 点)，固相的成分为 X_a (a 点)，若形成固相的质量分数为 w_a ，则液相的质量分数为 w_L 。

则有

$$w_a + w_L = w_0 = 1$$

因此

$$w_a X_a + w_L X_L = w_0 X_0 = X_0 \quad (5-2)$$

$$w_a + w_L = 1, \quad w_a = 1 - w_L \quad (5-3)$$

将式 (5-3) 代入式 (5-2) 中，得到

$$(1 - w_L) X_a + w_L X_L = X_0$$

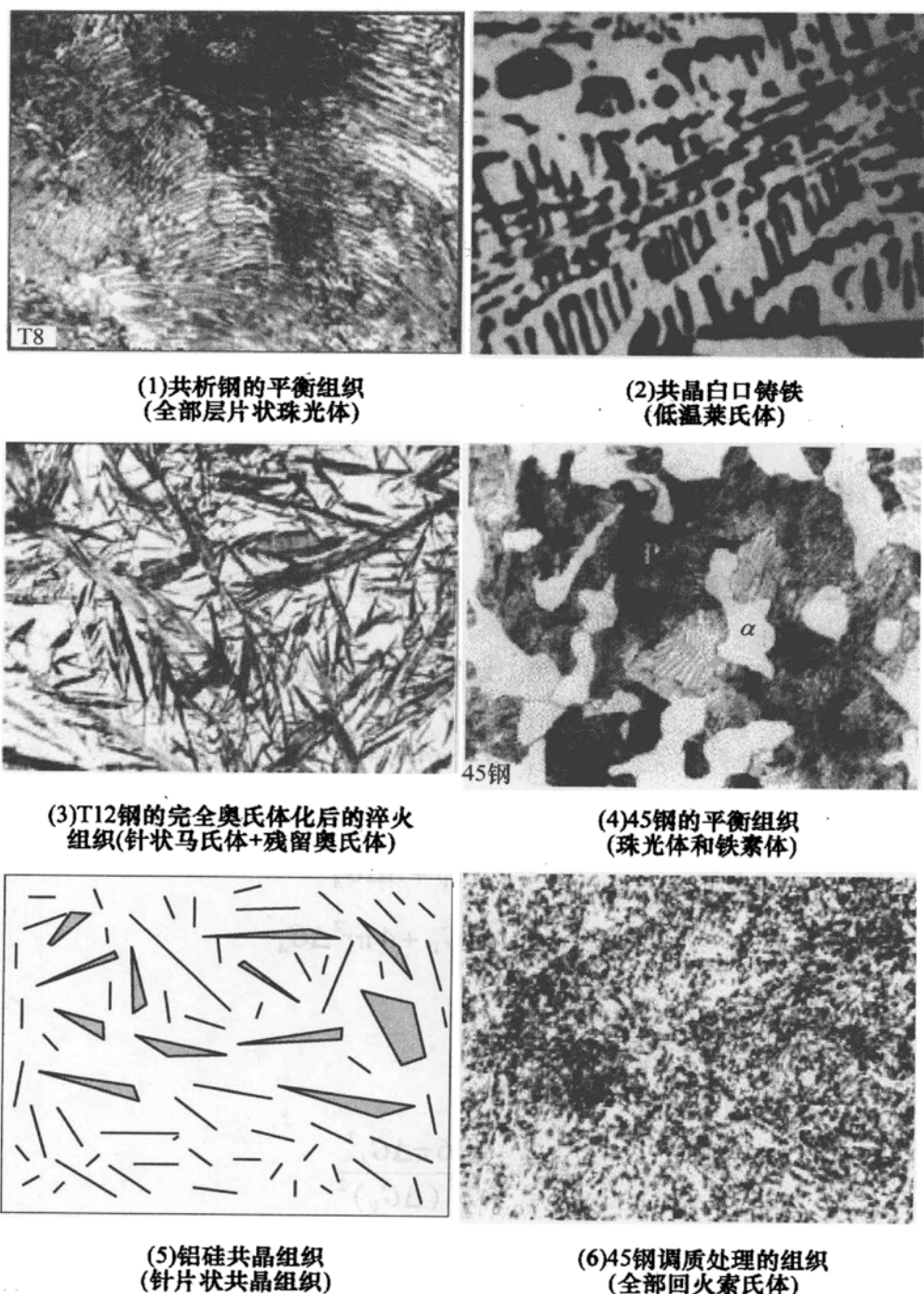


图 5-4 第二题第 2 小题解答图

$$(X_L - X_a) w_L = X_0 - X_a$$

$$\text{因此 } Q_L = \frac{w_L}{w_0} = \frac{X_0 - X_a}{X_L - X_a} \times 100\% ;$$

$$\text{同理可得 } Q_a = \frac{w_a}{w_0} = \frac{X_L - X_0}{X_L - X_a} \times 100\%$$

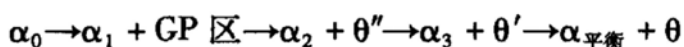
四、

1. 低碳钢的屈服是由于低碳钢中的碳是间隙原子，它与铁素体中的位错交互作用形成溶质原子气团，即所谓的柯氏气团。该气团对位错有钉扎作用，只有在较大的应力作用下，位错才能脱离溶质原子的钉扎，表现为应力-应变曲线上的上屈服点。而一旦位错脱钉，继续滑移，就不需要那么大应力了，表现为应力-应变曲线上的下屈服点和水平台阶。当继续变形时，由于位错数量的大大增加，导致应力又出现升高的现象，称为加工硬化现象。这是由于冷变形金属在塑性变形过程中形成大量位错，这些位错部分成为不可动位错，从而导致其对可动位错的阻力增大，引起材料继续变形困难，形成加工硬化或形变强化。

2. 对层错能高的金属而言，在变形过程中，全位错不易分解，在遇到阻碍时，可以通过交滑移继续运动，直到与其他位错相遇形成缠结；而层错能低的金属，由于其全位错易于分解为两个不全位错加层错的组态，难以交滑移，位错组态的运动性差。

对于螺型位错，通过交滑移，当同一滑移面上的两个异号（左、右）螺型位错相遇时，可以相互抵消，从而降低位错增殖速率。对于层错能低的金属，位错难以发生交滑移，因此变形过程中位错增殖速率大，加工硬化速率增大。

3. 铝合金淬火后得到过饱和固溶体，之后加热保温，固溶体内会依次析出 GP 区、 θ'' 、 θ' 、 θ 相。GP 区的形成会使材料的硬度增加（第一个时效峰），长时间时效，GP 区溶解，硬度下降。 θ'' 的形成使得硬度继续增加（第二个时效峰）。当 θ'' 全部溶解转化为 θ' 和 θ' 转化为 θ 后，硬度开始下降。



其中， $\alpha_{\text{平衡}}$ 、 θ 为平衡相；GP 区、 θ'' 、 θ' 为亚稳相。

4. 马氏体相变的基本特征表现为（主要为前两点）：

(1) 无扩散性。马氏体相变时无需原子的扩散，没有原子的混合与再混合过程。新相 M 与母相 A 的化学成分完全相同。

(2) 切变性。具体体现为：

①相变的协调一致性：A → M (FCC → BCC)。通过原子的整体协调运动（切变），晶体结构从 FCC 变成 BCC。原子的移动距离小于原子间距。

②表面浮凸效应。在经过抛光的表面，若发生马氏体转变，在切变时，将产生表面浮凸效应。这是由于点阵形变在转变区域中产生形状改变。

③惯习面。M 总是在母相的特定晶面上析出，伴随着 M 相变的切变，一般与此晶面平行，此晶面为基体与 M 相所共有，称为惯习面。

④新相与母相之间存在确定晶体学位向关系。两种著名的取向关系（钢的 M 转变），即 K-S 关系和西山关系。实际材料的马氏体转变，一般与上述关系存在几度的偏差。

(3) 马氏体相变时伴随有点阵畸变。

(4) 马氏体转变存在开始温度 M_s 和终了温度 M_f (或 M_z)。

五、

1. (1) 如图 5-5a 所示。

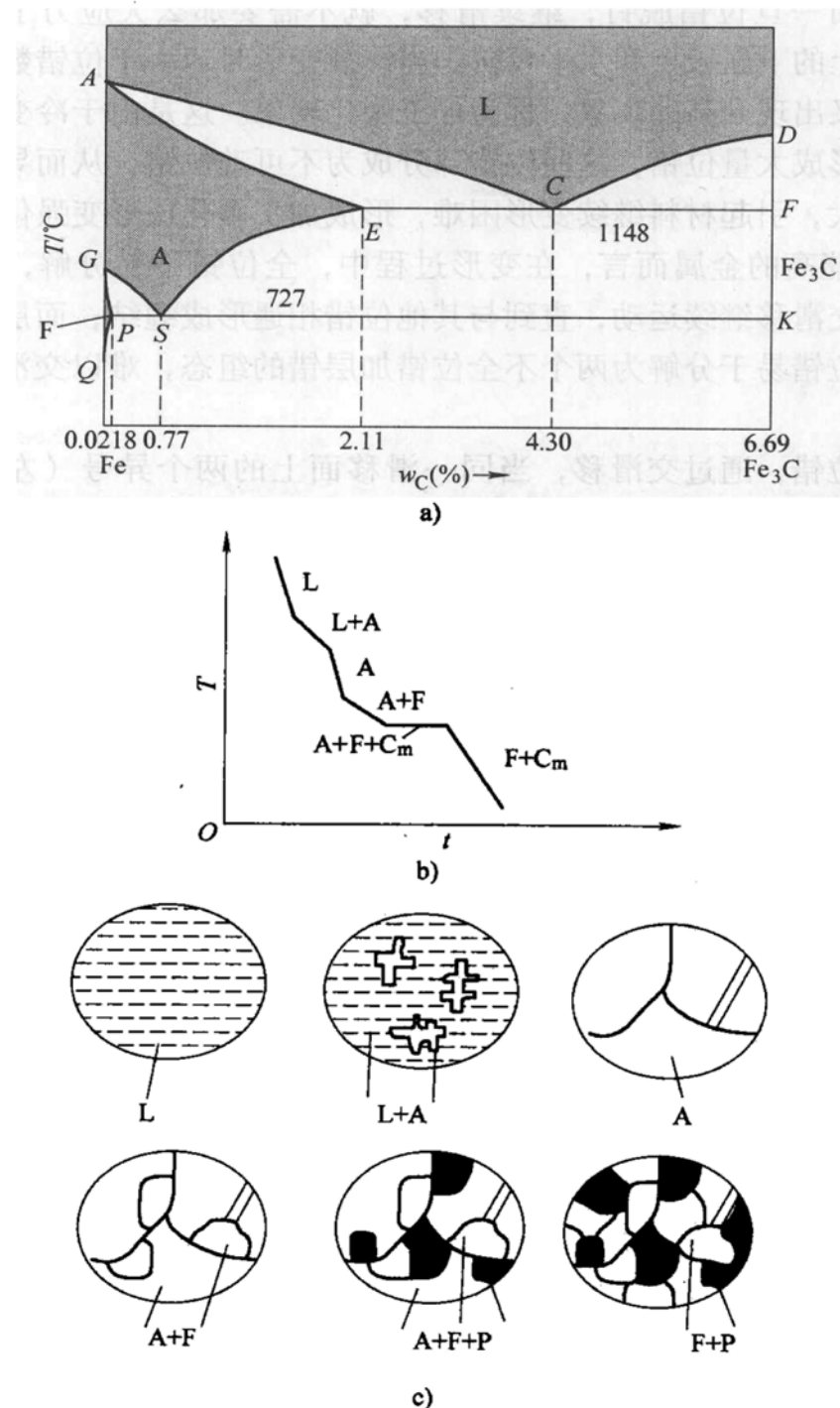
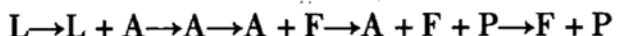


图 5-5 第五题第 1 小题解答图

a) Fe-Fe₃C 相图 b) 35 钢的平衡冷却曲线 c) 35 钢平衡冷却时的组织转变过程

(2) 如图 5-5b 所示。

(3) 如图 5-5c 所示。



35 钢在液态到室温的冷却过程中将发生以下转变：匀晶转变 $L \rightarrow L + A$ ，并全部转变为 A，然后发生同素异晶转变 $A \rightarrow F + A$ ，在 727°C 发生共析转变 $A \rightarrow P$ ($F + C_m$)。

(4) 室温下 35 钢的组织为：铁素体 F ($w_c = 0.0218\%$) + 珠光体 P ($F + Fe_3C$) ($w_c = 0.77\%$)。

根据杠杆定律计算可得

$$Q_\alpha = \frac{0.77 - 0.35}{0.77 - 0.0218} \times 100\% = 56.13\%$$

$$Q_P = \frac{0.35 - 0.0218}{0.77 - 0.0218} \times 100\% = 43.87\%$$

2.

(1) 马氏体 + 残留奥氏体，M + A'。

(2) 马氏体 + 下贝氏体 + 残留奥氏体，M + B_下 + A'。

(3) 索氏体 + 马氏体 + 残留奥氏体，S + M + A'。

(4) 索氏体或珠光体，S。

(5) 下贝氏体，B_下。

(6) 珠光体，P。

硬度从高到低的排序为：(1) - (2) - (5) - (3) - (4) - (6)。

试 卷 六

2009 年攻读硕士学位研究生入学考试试题

考试科目：材料科学基础

适用专业：材料科学与工程

一、(每小题 3 分，共 30 分) 概念题

- | | |
|----------|-----------|
| 1. 珠光体相变 | 2. 中间相 |
| 3. 固溶强化 | 4. 配位数 |
| 5. 扩展位错 | 6. 共晶转变 |
| 7. 上坡扩散 | 8. 铝合金的时效 |
| 9. 再结晶 | 10. 一级相变 |

二、(每小题 5 分，共 15 分) 给出下列各公式，说明公式中各物理量的含义及单位：

1. Hall-Petch (霍尔-佩奇) 公式

2. 晶界偏聚公式

3. 菲克第二定律 (一维)

三、(共 60 分) 简述题

1. (12 分) 画出下列各种组织：

(1) 共析钢的平衡组织 (2) 灰口铸铁 (只抛光，未腐蚀)

(3) T12 钢的平衡组织 (4) 45 钢的平衡组织

(5) T12 钢的淬火组织 (6) 45 钢调质处理的组织

2. (10 分) 根据位错运动和晶体滑移的相互关系，分析纯螺型位错和纯刃型位错的柏氏矢量与位错线方向、位错线运动方向、晶体滑移方向的关系。

3. (6 分) 画出立方晶系的 [100]、[101] 晶向和 (111)、(1¹1) 晶面及六方晶系的 [1120] 晶向、(0001) 晶面。

4. (10 分) 推导从液相中均匀形核形成奥氏体的临界形核功的表达式。(假定奥氏体晶核为球体，球的表面积 = $4\pi r^2$ ，球的体积 = $\frac{4}{3}\pi r^3$ ，r 为球的半径)

5. (8 分) 简述形变金属在加热时的回复和再结晶过程及其组织与性能的变化。

6. (6 分) 判断下列位错反应能否进行，并说明理由：

$$(1) \frac{a}{2} [\bar{1}\bar{1}0] \rightarrow \frac{a}{3} [\bar{1}\bar{1}\bar{1}] + \frac{a}{6} [\bar{1}\bar{1}\bar{2}]$$

$$(2) \frac{a}{6} [1\bar{2}\bar{1}] + \frac{a}{6} [2\bar{1}\bar{1}\bar{1}] \rightarrow \frac{a}{2} [\bar{1}\bar{1}0]$$

7. (8分) 简述马氏体相变的基本特征。

四、(共45分) 综合分析题

1. (13分) 举例说明材料的基本强化形式有哪几种，并详细说明其中一种的强化机制。

2. (共20分) 根据 Fe-Fe₃C 相图，回答下列问题：

(1) (5分) 画出50钢从高温液态到室温的平衡冷却曲线(不考虑铁素体的溶解度变化)。

(2) (5分) 示意画出组织转变过程图。

(3) (5分) 说明50钢在室温下的平衡组织，并给出每一种组织的含碳量。

(4) (5分) 计算50钢室温下各组织的相对重量。

3. (12分) 根据共析碳钢的过冷奥氏体转变C曲线(TTT曲线)(如图6-1所示)，请写出经过图中所示6种不同工艺处理后材料的组织名称。

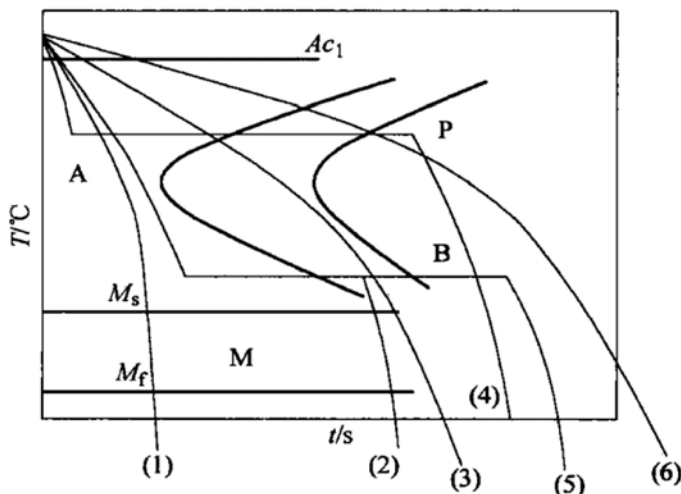


图 6-1 第四题第 3 小题图

标准答案

一、

1. 珠光体相变：Fe-C合金奥氏体在冷却过程中，在共析转变温度以下同时转变为铁素体和渗碳体的共析组织的相变。

2. 中间相：两个纯组元形成与其结构不同的化合物，其组成介于两个纯组

元之间的相。

3. 固溶强化：固溶体中溶质原子的存在导致溶剂的晶格产生畸变，从而阻碍位错运动，提高其强度。
4. 配位数：晶格中任一晶格结点原子周围最近邻的原子数目。
5. 扩展位错：一个全位错分解为两个不全位错和它们之间的层错，这一位错组态称为扩展位错。
6. 共晶转变：二元合金中一个液相在恒定温度下同时转变为两个不同固相的转变。
7. 上坡扩散：原子从低浓度向高浓度处的扩散，扩散的驱动力是化学位梯度。
8. 铝合金的时效：铝合金在经过高温固溶处理后，迅速冷却形成过饱和固溶体，并在随后的加热保温过程中析出亚稳相的过程。
9. 再结晶：经过塑性变形的金属，在重新加热过程中，当温度高于再结晶温度后，形成低缺陷密度的新晶粒，使其强度等性能恢复到变形前的水平，但其相结构不变的过程。
10. 一级相变：相变前后新旧两相的自由焓相等，但其一阶偏导数不等的相变。

二、

1.

- (1) Hall-Petch (霍尔-佩奇) 公式
表示屈服强度与晶粒尺寸之间的关系。

$$\sigma_s = \sigma_0 + K \cdot d^{-\frac{1}{2}}$$

式中， σ_0 (MPa)、 K (MPa · m^{1/2}) 为常数； d 为晶粒直径 (m)； σ_s 为屈服强度 (MPa)。

- (2) 晶界偏聚公式

$$C_{gb} = C_0 \cdot \exp \left(\frac{-\Delta E}{kT} \right) = C_0 \exp \left(\frac{-Q}{RT} \right)$$

式中， C_{gb} 、 C_0 分别为晶界浓度和晶粒中心浓度，两者同单位即可，可以使用质量百分浓度或体积浓度； ΔE 为交互作用能 (eV)； Q 为 mole 交互作用能 (J)；由于偏聚引起晶界能的变化； R 为气体常数 (J/K)； k 为玻尔兹曼常数 (eV/K)； T 为绝对温度 (K)。

- (3) 菲克第二定律 (一维)

$$\frac{\partial C}{\partial t} = D \frac{\partial^2 C}{\partial x^2}$$

式中， C 为浓度 (g/cm³)； D 为扩散系数 (cm²/s)； t 为时间 (s)； x 为距离

(cm)。

三、

1. 如图 6-2 所示。

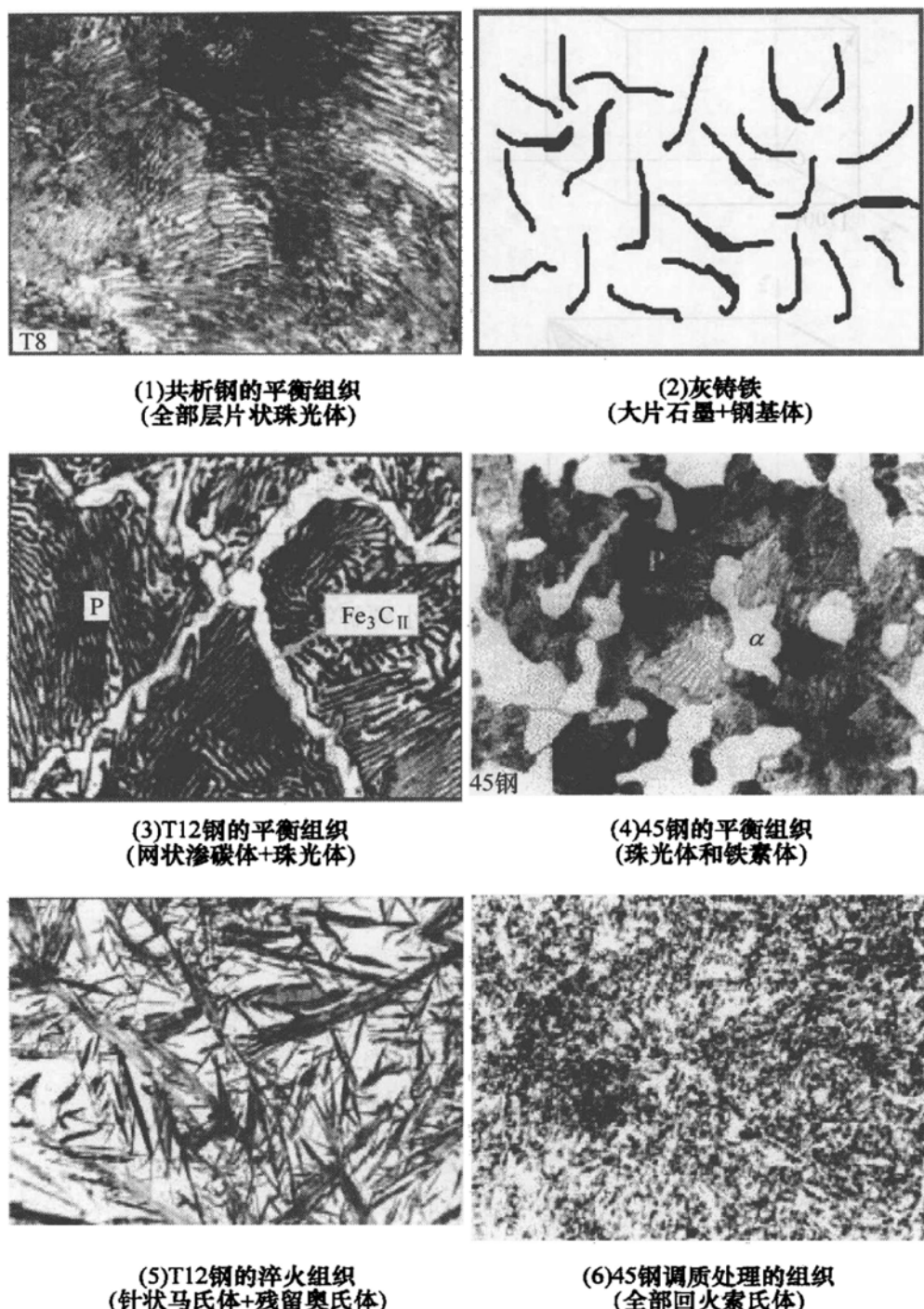


图 6-2 第三题第 1 小题解答图

2. 纯螺型位错：柏氏矢量与位错线方向平行，与位错线运动方向垂直，与晶体滑移方向平行；纯刃型位错：柏氏矢量与位错线方向垂直，与位错线运动方

向平行，与晶体滑移方向平行。

3. 如图 6-3 所示。

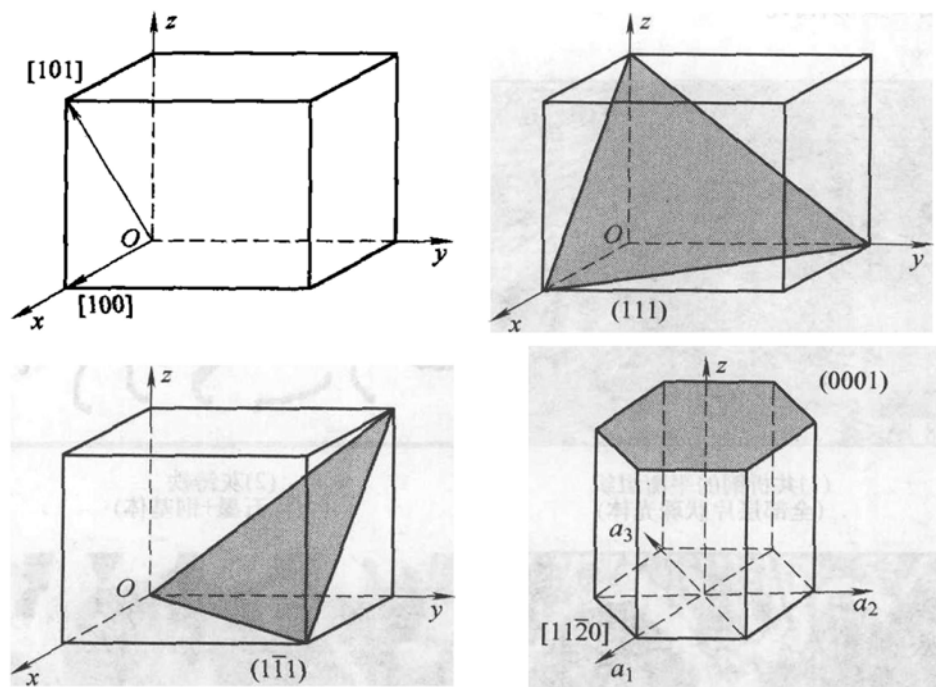


图 6-3 第三题第 3 小题解答图

4. 当过冷液体中出现一个晶胚时，总的自由能变化 ΔG 应为

$$\Delta G = \frac{4}{3} \pi r^3 \Delta G_v + 4 \pi r^2 \sigma \quad (6-1)$$

令 $\frac{d\Delta G}{dr} = 0$ ，可求得

$$r^* = -\frac{2\sigma}{\Delta G_v} \quad (6-2)$$

将式 (6-2) 代入式 (6-1) 可得 $\Delta G^* = \frac{16\pi\sigma^3}{3(\Delta G_v)^2}$

由于 $A^* = 4\pi (r^*)^2 = \frac{16\pi\sigma^2}{(\Delta G_v)^2}$

所以

$$\Delta G^* = \frac{1}{3} A^* \sigma$$

5. 经过塑性变形的金属在加热过程中将依次发生回复和再结晶过程，在温度低于再结晶温度时，主要发生点缺陷的浓度的降低，内应力的消除，位错组态的改变，光学显微组织没有变化；此时，强度、硬度、塑性等力学性能基本不变，但电阻下降明显。达到或超过再结晶温度后，将在原来变形晶粒内形成低缺陷密度的新晶粒，晶粒基本呈等轴状，此时，强度等力学性能和物理性能迅速恢

复到变形前的水平。

6.

(1) 反应前: $b_1^2 = a^2/2$

反应后: $b_2^2 + b_3^2 = 3a^2/9 + 6a^2/36 = a^2/2$

$$b_1^2 = b_2^2 + b_3^2, \text{ 且 } b_1 = b_2 + b_3$$

虽然反应前后柏氏矢量总和相等, 但由于反应前后位错能量相等, 从一个全位错分解为两个不全位错, 另有层错能的增加, 因此该位错反应不能进行。

(2) 反应后: $b_1^2 = a^2/2$

反应前: $b_2^2 + b_3^2 = 6a^2/36 + 6a^2/36 = a^2/3$

$$b_1^2 > b_2^2 + b_3^2, \text{ 且 } b_1 = b_2 + b_3$$

虽然反应前后柏氏矢量总和相等, 但由于反应前位错能量低于反应后位错能量, 因此该位错反应不能进行。

7. 马氏体相变的基本特征表现为 (主要为前两点):

(1) 无扩散性。马氏体相变时无需原子的扩散, 没有原子的混合与再混合过程。新相 M 与母相 A 的化学成分完全相同。

(2) 切变性, 具体体现为:

①相变的协调一致性: A → M (FCC → BCC)。通过原子的整体协调运动 (切变), 晶体结构从 FCC 变成 BCC。原子的移动距离小于原子间距。

②表面浮凸效应。在经过抛光的表面, 若发生马氏体转变, 在切变时, 将产生表面浮凸效应。这是由于点阵形变在转变区域中产生形状改变。

③惯习面。M 总是在母相的特定晶面上析出, 伴随着 M 相变的切变, 一般与此晶面平行, 此晶面为基体与 M 相所共有, 称为惯习面。

④新相与母相之间存在确定晶体学位向关系。两种著名的取向关系 (钢的 M 转变), 即 K-S 关系和西山关系。实际材料的马氏体转变, 一般与上述关系存在几度的偏差。

(3) 马氏体相变时伴随有点阵畸变。

(4) 马氏体转变存在开始温度 M_s 和终了温度 M_f (或 M_a)

四、

1. 要点:

(1) 形式: 固溶强化、加工硬化、细晶强化、弥散强化等。

(2) 举例说明: 碳在铁素体中形成固溶体, 造成固溶强化; 纯铝板经过反复加工后硬度上升, 冷拔钢丝强度明显提高; 变质处理可以细化铸造铝合金的强度, 主要是由于晶粒细化所致; 粒状珠光体中的碳化物起到的就是弥散强化效果, 另外, 回火马氏体中细小弥散分布的碳化物有很好的强化效果等。

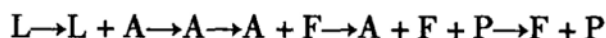
(3) 位错理论解释: 要从各种强化因素对位错运动的阻碍作用进行阐述,

提高材料强度。例如，无论是代位原子或是填隙原子，在条件合适的情况下，都可能发生原子偏聚而形成气团。对代位点阵来说，当溶质原子比溶剂原子的直径大时，溶质原子有富集在刃型位错受胀区的趋向；反之，富集于受压区。填隙原子则总是向受胀区富集。这种靠扩散在位错附近富集的现象，称为柯氏气团（Cottrell atmosphere）。柯氏气团对位错有钉扎作用，可提高位错运动阻力，从而使强度提高。

2.

(1) 如图 6-4a 所示。

(2) 如图 6-4b 所示。



50 钢在液态到室温的冷却过程中将发生以下转变：匀晶转变 $L \rightarrow L + A$ ，并全部转变为 A，然后发生同素异晶转变 $A \rightarrow F + A$ ，在 727°C 发生共析转变 $A \rightarrow P$ ($F + C_m$)。

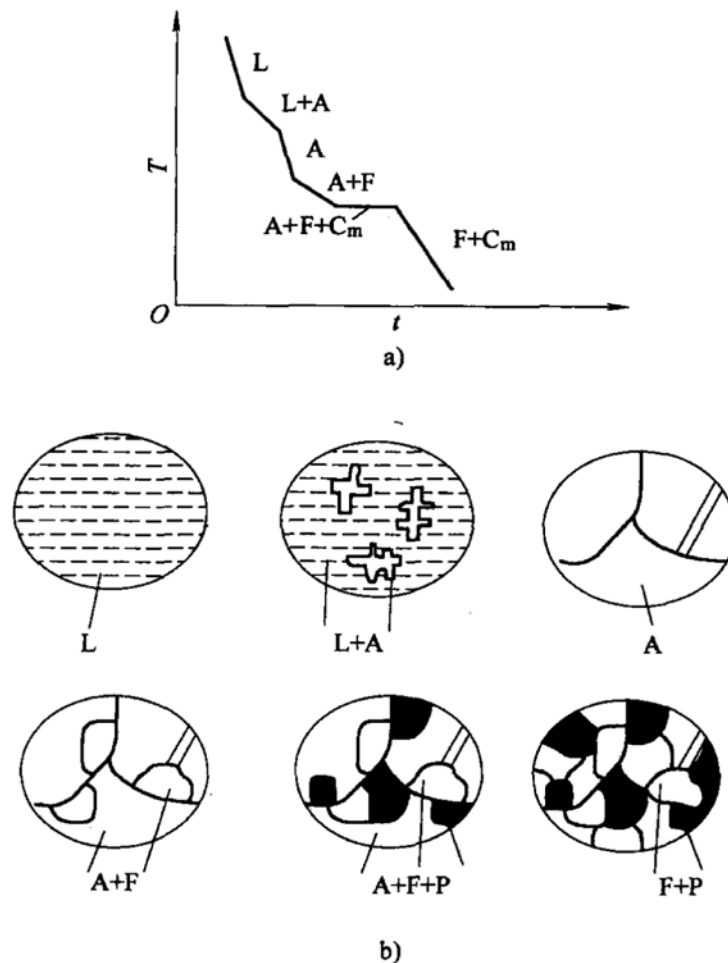


图 6-4 第四题第 2 小题解答图

a) 50 钢的平衡冷却曲线 b) 50 钢平衡冷却时的组织转变过程

(3) 珠光体：含碳量 $w_C = 0.77\%$ 。

铁素体： $w_C = 0.0218\%$ 或 $w_C \leq 0.0218\%$ 。

$$(4) w_P = \frac{0.50 - 0.0218}{0.77 - 0.0218} \times 100\% = 63.91\%$$

$$w_F = 1 - w_P = 36.09\%$$

3.

(1) 马氏体 + 残留奥氏体，M + A'。

(2) 马氏体 + 下贝氏体 + 残留奥氏体，M + B_下 + A'。

(3) 索氏体 + 马氏体 + 残留奥氏体，S + M + A'。

(4) 索氏体或珠光体，S。

(5) 下贝氏体，B_下。

(6) 珠光体，P。